

Б.18

ИНСТИТУТ ЯДЕРНОЙ ФИЗИКИ СИБИРСКОГО ОТДЕЛЕНИЯ АН СССР.

препринт 4

В.Н.Байер, В.С.Фадин, В.А.Хозе

**Излучение двух фотонов в заданный
угол при электронных столкновениях**

НОВОСИБИРСК 1966

+

А н н о т а ц и я

Рассмотрен процесс излучения двух фотонов с произвольной энергией в заданный угол при электронных столкновениях. Полученное сечение $d\sigma_{\omega_1, \omega_2}$ имеет вид полинома по степеням ω_1 , ω_2 . В случае, когда угловые размеры детекторов ϑ_0 порядка $1/\gamma$, коэффициенты при степенях $\omega_{1,2}$ вычислены численно. В случае $\vartheta_0 \gg 1/\gamma$ получено аналитическое выражение для сечения.

DOUBLE BREMSSTRAHLUNG IN FIXED ANGLE IN ELECTRON
COLLISIONS

V.N.BAYER, V.S.FADIN, V.A.KHOZE

A B S T R A C T

The process of emission by electron collisions of two photons with arbitrary energies into fixed angle is considered. The cross-section obtained has the form of a polynomial in power of ω_1, ω_2 . In the case, when angle dimensions ϑ_0 of detectors are order of $\frac{1}{\gamma}$, the coefficients by terms $\omega_{1,2}^n$ are numerically calculated. In the case, when $\vartheta_0 \gg \frac{1}{\gamma}$ analytical expression for the cross-section is obtained.

I. Процесс излучения двух фотонов с произвольной энергией при электронных столкновениях был исследован в работах В.М.Галицкого и одного из авторов [1-3]. Этот процесс представляет большой интерес для ставящихся в настоящее время опытов на встречных пучках по двум причинам: 1) он может быть использован в качестве монитора для регистрации столкновения пучков; 2) в случае электрон-позитронных соударений процесс двойного тормозного излучения конкурирует с процессом двухквантовой аннигиляции; это связано с тем, что сечение двойного тормозного излучения, в отличие от сечения двухквантовой аннигиляции, не падает с ростом энергии сталкивающихся частиц.

В работах [1-3] с точностью до членов порядка γ^{-2} было найдено сечение двойного тормозного излучения ${}^+/\sigma \propto \omega_1 \omega_2$, проинтегрированное по конечным состояниям электронов (поскольку электроны не регистрируются) и по всем углам вылета фотонов (что предполагает, что угловые размеры детекторов фотонов значительно превышают характерный угол излучения $\frac{1}{\gamma}$). Однако в реальных экспериментах по исследованию двойного тормозного излучения, которые ставятся при относительно малых энергиях, угловые размеры детекторов $2\vartheta_0$ сравнимы с величиной $\frac{1}{\gamma}$ (например, на установке ВЭП-1 в Новосибирске [4]) $\varepsilon = 43$ Мэв, $\vartheta_0 \sim \frac{3}{\gamma}$). В связи с этим представляет интерес сечение излучения двух фотонов в заданный угол. Мы будем для простоты предполагать, что углы обоих детекторов одинаковы $\vartheta_{10} = \vartheta_{20} = \vartheta_0$, хотя как показано в конце статьи, предлагаемый подход элементарно обобщается на случай детекторов разных размеров.

+) В статье используются обозначения работ [1-3].

2. Для качественного понимания ситуации, возникающей в данной задаче, рассмотрим излучение классических фотонов [1]. В этом случае легко получить сечение излучения в заданный угол, поскольку независимо интегрируется вклад каждого из классических токов. Рассмотрим интеграл по квадрату передачи импульса $\Delta^2 = 4x^2$ (формула (53) статьи [2]). Подинтегральная функция приведена на рис. I для случаев: 1) разрешены все углы вылета фотонов ($f(x) = \frac{\Phi(x^2)}{x^3}$) — кривая "а"; 2) угол вылета фотонов не больше $\theta_0 = \frac{\pi}{8}$ — кривая "б".

Видно, что основной вклад в интеграл вносит область $x \sim 1$.

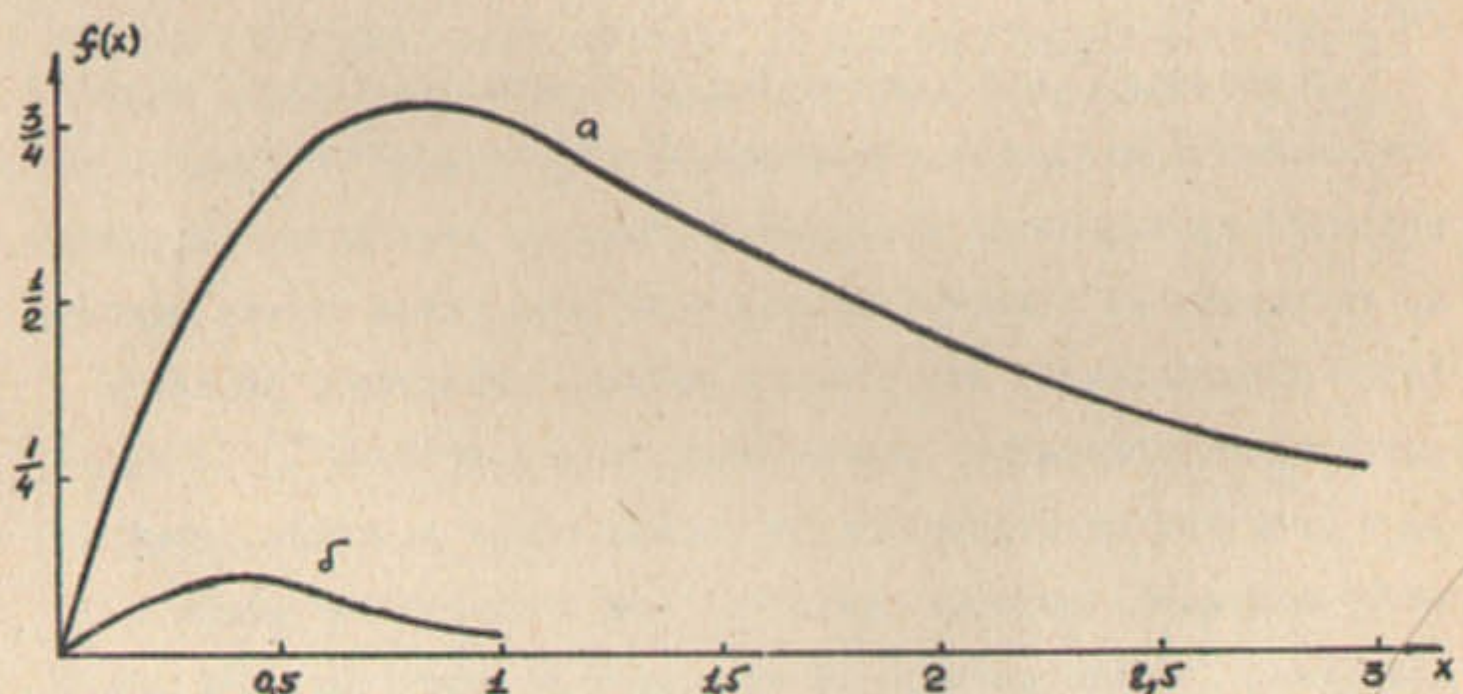


рис. I

Поскольку характерный угол излучения фотонов $\theta_x \sim \frac{\pi}{8}$, то при $\theta_0 = \frac{\pi}{8}$ мы обрезаем значительную часть области интегрирования по углу вылета фотона, что существенно уменьшает подинтегральную функцию при интегрировании по x , тем

более, что это относится к каждому из двух фотонов. Кроме того, при $x > 1$ вероятность излучения фотона мала при малых θ_x и достигает максимума только при $\theta_x \sim \frac{\pi}{8}$, что приводит к дополнительному подавлению подинтегральной функции при $\theta_0 = \frac{\pi}{8}$, которая таким образом спадает быстрее при $x > 1$.

В результате сечение излучения в угол $\theta_0 = \frac{\pi}{8}$ составляет лишь малую долю сечения излучения, проинтегрированного по всем углам вылета фотонов.

3. Переайдем теперь к рассмотрению излучения фотонов с произвольной энергией в заданный угол. С этой целью преобразуем формулу (3) статьи [3] к следующему виду:

$$d\sigma = \frac{2\omega^4}{(2\pi)^3} \frac{d\vec{s}_1}{\vec{s}_1} \frac{d\vec{s}_2}{\vec{s}_2} \int \frac{d\Delta^2}{\Delta^4} dR_1 dR_2 \quad (1)$$

где

$$dR_1 = \left[-\frac{1}{\omega_3^2} + \frac{\Delta^2 [1 + (\Delta - \vec{s}_1)^2] + 4(\Delta - \vec{s}_1)}{2\omega_1\omega_3} - \frac{(\Delta - \vec{s}_1)^2}{\omega_1^2} \right] \int_{\vec{s}_1} \delta(P_1 + \Delta - P_3 - K_1) \frac{d^3 p_3}{\omega_3} d\omega_3 d\varphi_3 d\psi_3$$

$$dR_2 = dR_1 (P_1 \rightarrow P_2, P_3 \rightarrow P_4, K_1 \rightarrow K_2, \Delta \rightarrow -\Delta, \varphi_1 \rightarrow \varphi_2) \quad (2)$$

здесь $\varphi_{1,2}$ — азимутальные углы вылета фотонов в Ц-системе при условии, что за полярные оси приняты направления векторов \vec{p}_1, \vec{p}_2 соответственно. Поскольку интегрирование по углам вылета фотона (переменные ω_1, ω_2) ведется в заданных пределах, оказывается целесообразным изменить порядок интегри-

рования, принятый в работах [2,3] и выполнить сначала интегрирование по переменным $\varepsilon_3, \varepsilon_4$.

Выполнив интегрирование по $d\rho_3 d\varphi_4$ получаем

$$\int \delta(\rho_1 + \Delta - \kappa_1 - \rho_3) \frac{d^3 \rho_3}{\varepsilon_3} d\varphi_4 = \frac{e}{g \sin \varphi_4} \quad (3)$$

где $g \sin \varphi_4 = \sqrt{U_1}$; U_1 есть квадратичная форма ε_3 :

$$U_1 = c \varepsilon_3^2 + b \varepsilon_3 + a \quad (4)$$

Пределы интегрирования по ε_3 определяются нулями функции U_1 . Этот факт легко понять с помощью простых кинематических соображений. Дело в том, что φ_4 есть угол между плоскостями $(\vec{\rho}_1, \vec{\Delta})$ и $(\vec{\rho}_4, \vec{\kappa}_4)$, причем угол между векторами $\vec{\rho}_4$ и $\vec{\kappa}_4$ является постоянным (поскольку фиксирована величина $\varepsilon_4 = -(\rho_4 \kappa_4)$). При изменении φ_4 от 0 до 2π функция $\varepsilon_3 = \varepsilon_3(\cos \varphi_4)$ пробегает все значения внутри интервала интегрирования, тогда пределы интегрирования по ε_3 определяются из условия $\frac{d\varepsilon_3}{d\varphi_4} = 0$, из которого следует $\sin \varphi_4 = 0$. При этом все четыре вектора $\vec{\Delta}, \vec{\rho}_4, \vec{\kappa}_4, \vec{\rho}_3$ лежат в одной плоскости.

В соответствии с постановкой задачи мы будем вычислять старший член разложения сечения по степеням ε^{-2} [2,3]. Поскольку мы будем вести интегрирование по ε_4 до верхнего предела $\varepsilon_{4,\text{max}} \ll \varepsilon^2$, то в выражении для U_1 (коэффициенты a, b, c в формуле (4)) мы отбросим члены порядка $\varepsilon^4/\varepsilon^2$.

Более того, в случае произвольных углов излучения фотона верхний предел интегрирования по ε_4 пропорционален ε^2 и поэтому, ввиду сходимости интеграла, с принятой точностью может быть положен равным бесконечности. В силу этого основ-

ной вклад в интеграл по ε_4 дают малые ε_4 ($\varepsilon_4 \sim 1$), так что всегда можно отбросить члены $\varepsilon_4^2/\varepsilon^2$ [2]. Вследствие того, что на верхней границе области интегрирования по переменным $\varepsilon_3, \varepsilon_4$ эти величины порядка $\varepsilon_1, \varepsilon_2, \Delta^2$ (а не ε^2) и с учетом того, что основной вклад в интегральное сечение дают $\varepsilon_1, \varepsilon_2 \sim 1$ (см. выше) и $\Delta^2 \sim 1$ [2,3], мы отбросим также члены $\sim \varepsilon_4^4/\varepsilon^2$. Сделав указанные выше пренебрежения, получаем

$$c = -(\zeta - \tilde{\zeta}_1)^2; \quad b = 2(\zeta - \tilde{\zeta}_1) \left[\varepsilon_1 + \frac{\tilde{\zeta}_1 \Delta^2}{2} \right]; \quad a = -\left[(\varepsilon_1 - \frac{\tilde{\zeta}_1 \Delta^2}{2})^2 + \tilde{\zeta}_1 \Delta^2 \right] \quad (5)$$

Видно, что функция U_1 не содержит величин ε_4 . Таким образом, с указанной точностью оказывается возможным независимо проводить интегрирование по переменным, относящимся к каждому из фотонов [2,3].

Интегрируя R_L по ε_3 , получаем:

$$\int_{\varepsilon_3} dR_4 = 2\pi \tilde{\zeta}_L \left[-\frac{b}{2(-a)^{1/2}} + \frac{\Delta^2 [1 + (a - \tilde{\zeta}_1)^2] + 4(\zeta - \tilde{\zeta}_1)}{2\varepsilon_1 (-a)^{1/2}} - \frac{(\zeta - \tilde{\zeta}_1)}{\varepsilon_1^2} \right] d\varepsilon_1 \quad (6)$$

имеем также

$$\int_{\varepsilon_4} dR_2 = \int_{\varepsilon_3} dR_1 \left(\frac{\varepsilon_1 \rightarrow \varepsilon_2}{\tilde{\zeta}_1 \rightarrow \tilde{\zeta}_2} \right) \quad (7)$$

Приступим теперь к интегрированию по ε_1 . Нижний предел интегрирования определяется из условия $\vartheta_{K=0}$, откуда с точностью до членов ε^{-2} получаем $\varepsilon_{1,\text{min}} = \tilde{\zeta}_1/2$. Верхний

предел интегрирования по ω_2 определяется предельным углом вылета фотона θ_0 : $\omega_{\text{max}} = \tilde{\beta}_1 \varepsilon^2 (\zeta - \beta \cos \theta_0) = \tilde{\beta}_1 \omega_0$

Если представить $\theta_0 = \frac{n}{\varepsilon}$, то $\omega_0 = \frac{n^2}{2}$ при $n \ll \varepsilon$.

Проводя элементарное интегрирование по ω_2 (и ω_1 соответственно), получаем следующее выражение для сечения двойного тормозного излучения:

$$d\sigma = \frac{8\varepsilon^2 \omega_0^2}{\pi} \frac{d\tilde{\beta}_1}{\tilde{\beta}_1} \frac{d\tilde{\beta}_2}{\tilde{\beta}_2} \int \frac{dx}{x^3} \left\{ (\zeta - \tilde{\beta}_1) \bar{\Phi}(x) + \tilde{\beta}_1^2 \frac{x}{\sqrt{1+x^2}} \bar{\ell}_1(x + \sqrt{1+x^2}) - F(x, \omega_0, \tilde{\beta}_1) \right\}_X \\ \times \left\{ (\zeta - \tilde{\beta}_2) \bar{\Phi}(x) + \tilde{\beta}_2^2 \frac{x}{\sqrt{1+x^2}} \bar{\ell}_1(x + \sqrt{1+x^2}) - F(x, \omega_0, \tilde{\beta}_2) \right\} \quad (8)$$

где

$$F(x, \omega_0, \tilde{\beta}_1) = \frac{1}{4} \left[\frac{(\zeta - \tilde{\beta}_1) + [2(\zeta - \tilde{\beta}_1) + \tilde{\beta}_1^2]x^2}{x\sqrt{1+x^2}} \bar{\ell}_1 \left(\frac{2x(\zeta - \tilde{\beta}_1) - x\omega_0 + \sqrt{(1+x^2)R_0}}{\omega_0[\sqrt{1+x^2} - x]} \right) - \right. \\ \left. - (\zeta - \tilde{\beta}_1) \left(1 + \frac{1}{\omega_0} + \frac{\zeta - \omega_0 + 2x^2}{\sqrt{R_0}} \right) \right] \quad (9)$$

$$R_0 = (2x^2 - \omega_0)^2 + 4x^2 \quad (10)$$

Исно, что при $\omega_0 \rightarrow \infty$ функция $F(x, \omega_0, \tilde{\beta}_1) \rightarrow 0$, так что формула (8) переходит в формулу (4) статьи [3].

Легко видеть, что при $x \rightarrow 0$ слагаемое $F(x, \omega_0, \tilde{\beta}_1)$, подобно остальной части выражения, стоящего в фигурных скобках, пропорционально x^2 , так что, как и прежде, нижний предел интегрирования по x можно положить равным нулю. Аналогично, верхний предел интегрирования по x можно положить равным бесконечности.

4. Входящие в формулу (8) интегралы не удается вычислить в аналитическом виде. Поэтому эти однократные интегралы были вычислены с помощью электронной вычислительной машины М-20.

Сечение двойного тормозного излучения в заданный угол представим в виде:

$$d\sigma_{\omega_1 \omega_2} = \frac{8\varepsilon^2 \omega_0^2}{\pi} \left\{ \left(\zeta - \frac{\omega_1}{\varepsilon} \right) \left(\zeta - \frac{\omega_2}{\varepsilon} \right) \bar{\gamma}_L(n) + \left(\zeta - \frac{\omega_1}{\varepsilon} \right) \frac{\omega_2^2}{\varepsilon^2} + \left(\zeta - \frac{\omega_2}{\varepsilon} \right) \frac{\omega_1^2}{\varepsilon^2} \right\} \bar{\gamma}_E(n) + \\ + \frac{\omega_1^2 \omega_2^2}{\varepsilon^4} \bar{\gamma}_S(n) \right\} \frac{d\omega_1}{\omega_1} \frac{d\omega_2}{\omega_2} \quad (II)$$

Численные значения функций $\bar{\gamma}_m(n)$ приведены в таблице I.

Таблица I
значения коэффициентов $\bar{\gamma}_m(n)$ в формуле (II)

$(\theta_0, \frac{n}{\varepsilon})$	$\bar{\gamma}_L(n)$		$\bar{\gamma}_E(n)$		$\bar{\gamma}_S(n)$	
	ЭВМ	формула (12)	ЭВМ	формула (12)	ЭВМ	формула (12)
I	0,081	-	0,065	-	0,053	-
2	0,406	-	0,311	-	0,237	-
3	0,743	-	0,555	-	0,412	-
4	1,02	1,07	0,744	0,748	0,543	0,534
5	1,23	1,24	0,885	0,881	0,638	0,631
10	1,77	1,77	1,23	1,23	0,863	0,862

5. В области значений $1 \ll n \ll \varepsilon$ оказывается возможным получить аналитическое выражение для искомого сечения. В этом случае асимптотические выражения для коэффициентов $\bar{\gamma}_m(n)$ в формуле (II) имеют вид:

$$\begin{aligned}\gamma_4(n) &= \frac{5}{4} + \frac{2}{\delta} \zeta(3) - \frac{1}{n^2} \left[10 \ln^2(n) - \frac{\pi^2}{2} + \frac{11}{2} \right] \\ \gamma_2(n) &= \frac{1}{2} + \frac{2}{\delta} \zeta(3) - \frac{1}{2n^2} \left[10 \ln^2(n) + 5 \ln(n) - \frac{\pi^2}{2} + \frac{9}{2} \right] \\ \gamma_3(n) &= \frac{2}{\delta} \zeta(3) - \frac{1}{2n^2} \left[5 \ln^2(n) + 5 \ln(n) - \frac{\pi^2}{4} + \frac{15}{2} \right]\end{aligned}\quad (12)$$

Как видно из таблицы I, начиная с $n=4$ результаты, получаемые с помощью формул (12), находятся в хорошем соответствии с результатами численного расчета.

Зависимость коэффициентов $\gamma_m(n)$ от n приведена на рис.2.

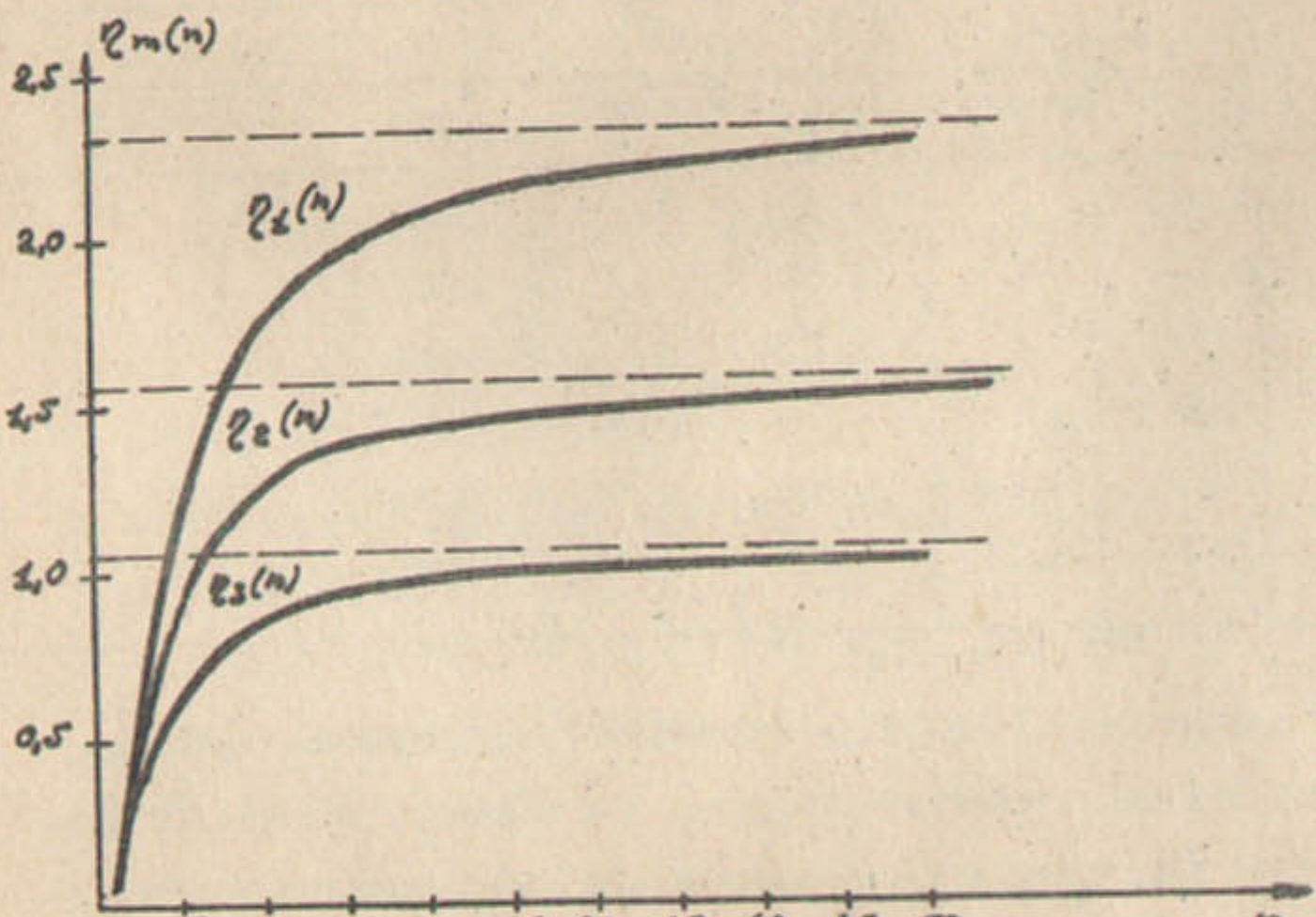


рис.2

6. Мы рассмотрели случай симметричных детекторов. В случае несимметричных детекторов можно непосредственно воспользоваться формулой (8), только функции $F(x, \omega_1, \omega_2)$ будут зависеть каждая от своего предельного угла. Особый интерес представляет случай, когда угловые размеры одного из счетчиков очень велики $\vartheta_{e_0} \gg \frac{1}{\epsilon}$, а второго — малы $\vartheta_{e_0} \sim \frac{1}{\epsilon}$. тогда для одного из фотонов можно провести интегрирование по всем углам вылета фотона (как в [I-3]), а для рассмотрения излучения второго фотона воспользоваться подходом этой статьи. Сечение процесса представим в виде:

$$\begin{aligned}\sigma \delta_{\omega_1 \omega_2} = & \frac{\delta \omega_0^2 \omega^2}{\pi} \left\{ \left(-\frac{\omega_1}{\epsilon} \right) \left(-\frac{\omega_2}{\epsilon} \right) \mu_2(n) + \left(-\frac{\omega_2}{\epsilon} \right) \frac{\omega_1^2}{\epsilon^2} \mu_2(n) + \right. \\ & \left. + \left(-\frac{\omega_1}{\epsilon} \right) \frac{\omega_2^2}{\epsilon^2} \mu_3(n) + \frac{\omega_1^2 \omega_2^2}{\epsilon^4} \mu_4(n) \right\} \frac{d\omega_1 d\omega_2}{\omega_1 \omega_2} \quad (13)\end{aligned}$$

значения функций $\mu_m(n)$ приведены в таблице 2.

Для случая $\epsilon \ll n$ легко получить также асимптотические выражения для функций $\mu_m(n)$:

$$\begin{aligned}\mu_2(n) &= \frac{5}{4} + \frac{2}{\delta} \zeta(3) - \frac{3}{n^2} \left[2 \ln^2(n) + 1 \right] \\ \mu_2(n) &= \frac{1}{2} + \frac{2}{\delta} \zeta(3) - \frac{1}{n^2} \left[3 \ln^2(n) + \ln(n) + \frac{3}{2} \right] \\ \mu_3(n) &= \frac{1}{2} + \frac{2}{\delta} \zeta(3) - \frac{1}{n^2} \left[3 \ln^2(n) + 2 \ln(n) + 1 \right] \\ \mu_4(n) &= \frac{2}{\delta} \zeta(3) - \frac{3}{2n^2} \left[\ln^2(n) + \ln(n) + \frac{1}{2} \right]\end{aligned}\quad (14)$$

Эти выражения, так же, как формулы (12), начиная с $n=4$ находятся в хорошем согласии с результатами численного расчета (см. таблицу 2).

Таблица 2

Значения коэффициентов $\mu_m(n)$ в формуле (13)

n $(\frac{2}{\rho} - \frac{n}{\gamma})$	$\mu_1(n)$		$\mu_2(n)$		$\mu_3(n)$		$\mu_4(n)$	
	ЭВМ	формула (14)						
1	0,299	—	0,281	—	0,215	—	0,199	—
2	0,805	—	0,628	—	0,568	—	0,441	—
3	1,16	—	0,859	—	0,811	—	0,601	—
4	1,40	1,40	1,01	1,01	0,972	0,956	0,705	0,696
5	1,56	1,56	1,12	1,12	1,08	1,07	0,776	0,770
10	1,95	1,95	1,35	1,35	1,34	1,34	0,930	0,930

Авторы выражают благодарность А.П.Онучину за обсуждение вопросов, связанных с экспериментом, и Г.И.Русовой и Э.З.Боровской за помощь в численных вычислениях.

Литература

1. V.N.Bayer, V.M.Galitsky. Phys.Lett. 13, 355, 1964.
2. В.Н.Байер, В.М.Галицкий. ЖЭТФ, 49, 661, 1965.
3. В.Н.Байер, В.М.Галицкий. ЖЭТФ-письма, 2, 259, 1965.
4. Г.И.Будкер, Е.А.Кушниренко, А.А.Наумов и др. Доклад на Международной конференции по ускорителям во Фраскати. 1965.

Ответственный за выпуск В.М.Катков

Отпечатано на ротопринте в Институте
Ядерной физики СО АН СССР
Тираж 200 экз. Бесплатно
Поступило в печать 10.1-66 г.